

# Fizyka Materii Skondensowanej

## Właściwości optyczne



Wydział Fizyki UW  
Jacek.Szczytko@fuw.edu.pl



KAPITAŁ LUDZKI  
NARODOWA STRATEGICZNA SPRAWOŚĆ



EUROPEJSKI  
FUNDUSZ SPOŁECZNY

Projekt: POKL 04.01.01-00-100/10-00 "Chemia, fizyka i biologia na potrzeby społeczeństwa XXI wieku: nowe makrostrukturki studiów I, II i III stopnia"

## Właściwości optyczne

Opis właściwości optycznych to opis propagacji fali elektromagnetycznej w kryształach z uwzględnieniem różnych oddziaływań. Należy uwzględnić:

- Swobodne nośniki
- Fonony
- Przejścia międzypasmowe
- Wpływ domieszek na właściwości optyczne

$$\frac{\partial f}{\partial t} + \vec{v} \cdot \nabla_{\vec{r}} f + \frac{1}{\hbar} \vec{F} \cdot \nabla_{\vec{k}} f = \left( \frac{\partial f}{\partial t} \right)_{zd}$$

**Równanie Boltzmana zależne od czasu:**  
Jeśli pominiemy rozpraszanie, to pochodna zupełna  $f(\vec{r}, \vec{k}, t)$  wzdłuż trajektorii ruchu opisana równaniem ruchu

$$\left( \frac{df}{dt} \right)_{rr} = 0$$

a jej zmiany są wynikiem zderzeń

$$\left( \frac{df}{dt} \right)_{rr} = \frac{\partial f}{\partial t} + \vec{v} \cdot \nabla_{\vec{r}} f + \frac{1}{\hbar} \vec{F} \cdot \nabla_{\vec{k}} f = \left( \frac{\partial f}{\partial t} \right)_{zd} = -\frac{f_1}{\tau}$$

2013-06-03 2

## Właściwości optyczne

**Równanie Boltzmana zależne od czasu:**  
Jeśli pominiemy rozpraszanie, to pochodna zupełna  $f(\vec{r}, \vec{k}, t)$  wzdłuż trajektorii ruchu opisana równaniem ruchu

$$\left( \frac{df}{dt} \right)_{rr} = 0$$

a jej zmiany są wynikiem zderzeń

$$\left( \frac{df}{dt} \right)_{rr} = \left( \frac{df}{dt} \right)_{zd}$$

$$\left( \frac{df}{dt} \right)_{rr} = \frac{\partial f}{\partial t} + \vec{v} \cdot \nabla_{\vec{r}} f + \frac{1}{\hbar} \vec{F} \cdot \nabla_{\vec{k}} f = \left( \frac{\partial f}{\partial t} \right)_{zd} = -\frac{f_1}{\tau}$$

Jeśli zaburzenie ma charakter okresowy (np. fala elektromagnetyczna o częstotliwości  $\omega$ )

$$f_1 = f_1^{(0)} e^{-i\omega t} \Rightarrow \frac{\partial f_1}{\partial t} = -i\omega f_1$$

$$\vec{v} \cdot \nabla_{\vec{r}} f + \frac{1}{\hbar} \vec{F} \cdot \nabla_{\vec{k}} f + \left( -i\omega + \frac{1}{\tau} \right) f_1 = 0$$

Należy więc dokonać zmiany w poprzednich wyprowadzeniach dla stacjonarnego równania Boltzmana

$$\tau \rightarrow \frac{\tau}{1 - i\omega\tau}$$

2013-06-03 3

## Właściwości optyczne

**Równanie Boltzmana zależne od czasu:**

$$\vec{v} \cdot \nabla_{\vec{r}} f + \frac{1}{\hbar} \vec{F} \cdot \nabla_{\vec{k}} f + \left( -i\omega + \frac{1}{\tau} \right) f_1 = 0$$

Należy więc dokonać zmiany w poprzednich wyprowadzeniach dla stacjonarnego równania Boltzmana

$$\tau \rightarrow \frac{\tau}{1 - i\omega\tau}$$

W półprzewodnikach  $\tau \sim 10^{-9} \div 10^{-11}$  s zatem człon urojony (przesunięty w fazie) należy uwzględnić dla  $\omega \sim 10^9 \div 10^{11}$  s<sup>-1</sup> (mikrofałe). Przewodnictwo zależne od częstotliwości będzie zespolone:

$$\sigma = N_e \frac{e^2}{m^*} \langle \tilde{\tau}(E) \rangle \Rightarrow \sigma^* = N_e \frac{e^2}{m^*} \left\langle \frac{\tilde{\tau}}{1 - i\omega\tilde{\tau}} \right\rangle = \sigma_1 + i\sigma_2$$

$$\sigma^* = \sigma_1 + i\sigma_2 = N_e \frac{e^2}{m^*} \left\langle \frac{\tilde{\tau}}{1 + \omega^2 \tilde{\tau}^2} \right\rangle + i\omega N_e \frac{e^2}{m^*} \left\langle \frac{\tilde{\tau}^2}{1 + \omega^2 \tilde{\tau}^2} \right\rangle$$

$$\vec{j} = \sigma^* \cdot \vec{E}(t) = (\sigma_1 + i\sigma_2) \cdot \vec{E} e^{-i\omega t} = \sigma_1 \vec{E} e^{-i\omega t} + \sigma_2 \vec{E} e^{-i(\omega t - \frac{\pi}{2})}$$

prąd przewodnictwa

prąd przesunięcia

2013-06-03 4

## Właściwości optyczne

Równania Maxwella:

$$\begin{cases} \text{rot } \vec{E} = -\frac{\partial \vec{B}}{\partial t} \\ \text{rot } \vec{H} = \frac{\partial \vec{D}}{\partial t} + \vec{j} \\ \text{div } \vec{B} = 0 \\ \text{div } \vec{D} = \rho \end{cases} \quad \sigma^* = N_e \frac{e^2}{m^*} \left( \frac{\tilde{\tau}}{1 - i\omega\tilde{\tau}} \right)$$

$$\vec{D} = \epsilon \vec{E}, \quad \vec{B} = \mu \vec{H}, \quad \vec{j} = \sigma \vec{E}$$

Niemagnetyczny izolator  $\mu = \mu_0$ ,  $\epsilon = \epsilon_0 \epsilon_r$ , liczymy  $\text{rot}(\text{rot } \vec{E}) = \dots$ , szukamy rozwiązania w postaci fali  $\vec{E} = \vec{E}_0 e^{i(\vec{k}\vec{r} - \omega t)}$  itp.

$$\epsilon(\omega) = \epsilon_r + \frac{i\sigma}{\omega\epsilon_0}$$

W ogólności  $\epsilon(\omega, \vec{k})$  - zespolony tensor.

Rozważając przypadek fali podłużnej i poprzecznej dostajemy

$$\epsilon(\omega) = \epsilon_r + \frac{i\sigma(\omega)}{\omega\epsilon_0} = \begin{cases} \omega\tau \gg 1 \\ \omega\tau \ll 1 \end{cases} = \epsilon_r \left( 1 - \frac{N_e e^2}{\epsilon_0 \epsilon_r m^* \omega^2} \right) = \epsilon_r \left( 1 - \frac{\omega_p^2}{\omega^2} \right)$$

2013-06-03

5

## Właściwości optyczne

Plazmony:

$$\epsilon(\omega) = \epsilon_r \left( 1 - \frac{N_e e^2}{\epsilon_0 \epsilon_r m^* \omega^2} \right) = \epsilon_r \left( 1 - \frac{\omega_p^2}{\omega^2} \right)$$

Plazmony, to kolektywne wzbudzenia elementarne związane z propagacją fali podłużnej w plazmie. Z dokładniejszych rachunków wynika, że

$$\omega_{pl}(\vec{k}) = \omega_p(0) + ak^2$$

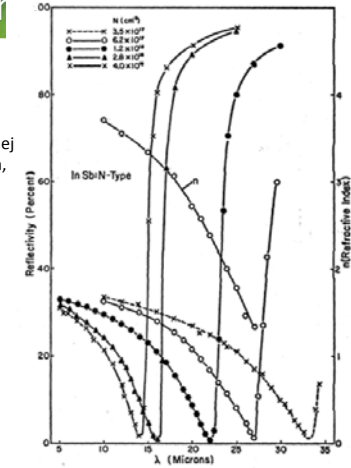
Współczynnik odbicia ( $\tilde{n} = \sqrt{\epsilon(\omega)} = n + ik$ )

$$R = \frac{|\tilde{n} - 1|^2}{|\tilde{n} + 1|^2} = \frac{(n - 1)^2 + \kappa}{(n + 1)^2 + \kappa}$$

Odbicie najmniejsze dla

$$\omega^2 = \frac{\epsilon_r}{\epsilon_r - 1} \omega_p^2$$

Można wyznaczyć  $m^*$ !



W. G. Spitzer, H.X. Fan, Phys. Rev. **106**, 882 (1957)

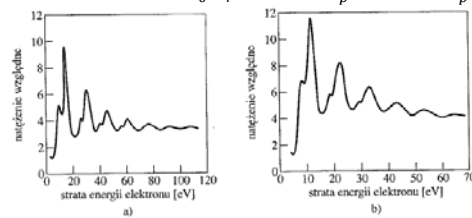
2013-06-03

FIG. 8. Reflectivity  $\pi$  wavelength for five n-type indium antimonide samples. The refractive index curve labeled  $n$  is for the sample with  $N = 6.2 \times 10^{17} \text{ cm}^{-3}$ .

## Właściwości optyczne

Plazmony:

W metalach  $N_e \approx 3 \times 10^{22} \text{ cm}^{-3}$ ,  $m^* \approx m_0$ ,  $\epsilon_r \approx 10 \Rightarrow \omega_p \approx 10^{16} \text{ s}^{-1}$ ,  $\lambda_p \approx 200 \text{ nm}$



Rys. 8. Widmo strat energii elektronów o energii początkowej 2020 eV, odbitych od cienkiej warstwy: a) glinu i b) magnezu. Dwanaście maksimum zarejestrowanych dla Al składa się z kombinacji procesów, w których elektron traci 10,3 lub 15,3 eV energii; strata 10,3 eV związana jest z plazmonami powierzchniowymi, strata 15,3 eV z plazmonami objętościowymi. Dziesięć maksimum zarejestrowanych dla Mg składa się z kombinacji procesów, w których elektron traci 7,1 eV energii na rzecz plazmonów powierzchniowych i 10,6 eV na rzecz plazmonów objętościowych (wg C. J. Powella, J. B. Swana). Plazmony powierzchniowe są rozpatrywane w zadaniu 1

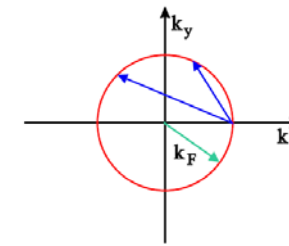
Ch. Kittel Wstęp do fizyki ciała stałego

2013-06-03

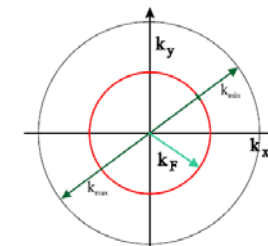
7

## Właściwości optyczne

Plazmony:



Wzbudzenia jednocząstkowe dla  $\Delta E=0$   
 $0 \leq \Delta k \leq 2 k_F$



Wzbudzenia jednocząstkowe dla  $\Delta E \neq 0$ :  
 $k_{\min} \leq \Delta k \leq k_{\min} + 2 k_F$

2013-06-03

8

## Właściwości optyczne

**Plazmony:**

Wzbudzenia jednoząstkowe dla  $\Delta E=0$   
 $0 \leq \Delta k \leq 2k_F$

Wzbudzenia jednoząstkowe dla  $\Delta E \neq 0$ :  
 $k_{\min} \leq \Delta k < k_{\min} + 2k_F$

2k<sub>F</sub>      Δk

Tłumienie plazmonów

2013-06-03 9

## Właściwości optyczne

**Plazmony:**

Fale poprzeczne:

$$\vec{\mathcal{E}} = \vec{\mathcal{E}}_0 e^{i(\vec{k}\vec{r} - \omega t)} = \vec{\mathcal{E}}_0 e^{i\left(\frac{\tilde{n}\omega}{c}\vec{r} - \omega t\right)} = \vec{\mathcal{E}}_0 e^{i\omega\left(\frac{\tilde{n}}{c}\vec{r} - t\right)} e^{-i\omega\frac{\kappa}{c}\vec{r}}$$

Współczynnik absorpcji  $\alpha = 2\omega\frac{\kappa}{c}$ . Łatwo jest uporządkować wyrazy:

$$\varepsilon'(\omega) = n^2 - \kappa^2 = \varepsilon_r - N_e \frac{e^2}{\varepsilon_0 m^*} \left( \frac{\tilde{\tau}^2}{1 - \omega^2 \tilde{\tau}^2} \right)$$

$$\varepsilon''(\omega) = 2n\kappa = N_e \frac{e^2}{\varepsilon_0 \omega m^*} \left( \frac{\tilde{\tau}}{1 - \omega^2 \tilde{\tau}^2} \right)$$

W przypadku metalicznym (silna degeneracja)  $\tilde{\tau} = \tau_F = \tau(\xi) = \tau$

$$\varepsilon'(\omega) = n^2 - \kappa^2 = \varepsilon_r - N_e \frac{e^2}{\varepsilon_0 m^*} \left( \frac{\tau_F^2}{1 - \omega^2 \tau_F^2} \right) = \varepsilon_r \left( 1 - \frac{\omega_p^2}{\gamma^2 + \omega^2} \right)$$

$$\varepsilon''(\omega) = 2n\kappa = N_e \frac{e^2}{\varepsilon_0 \omega m^*} \left( \frac{\tau_F}{1 - \omega^2 \tau_F^2} \right) = \varepsilon_r \frac{\omega_p^2}{\omega} \frac{\gamma}{\gamma^2 + \omega^2}$$

Relacja dyspersyjna:

$$k = \sqrt{\varepsilon(\omega)} \frac{\omega}{c} = \tilde{n}(\omega) \frac{\omega}{c}$$

2013-06-03 10

## Właściwości optyczne

**Plazmony:**

Fale poprzeczne:

$$\vec{\mathcal{E}} = \vec{\mathcal{E}}_0 e^{i(\vec{k}\vec{r} - \omega t)} = \vec{\mathcal{E}}_0 e^{i\left(\frac{\tilde{n}\omega}{c}\vec{r} - \omega t\right)} = \vec{\mathcal{E}}_0 e^{i\omega\left(\frac{\tilde{n}}{c}\vec{r} - t\right)} e^{-i\omega\frac{\kappa}{c}\vec{r}}$$

Współczynnik absorpcji  $\alpha = 2\omega\frac{\kappa}{c}$ . Łatwo jest uporządkować wyrazy:

$$\varepsilon'(\omega) = n^2 - \kappa^2 = \varepsilon_r - N_e \frac{e^2}{\varepsilon_0 m^*} \left( \frac{\tilde{\tau}^2}{1 - \omega^2 \tilde{\tau}^2} \right)$$

$$\varepsilon''(\omega) = 2n\kappa = N_e \frac{e^2}{\varepsilon_0 \omega m^*} \left( \frac{\tilde{\tau}}{1 - \omega^2 \tilde{\tau}^2} \right)$$

W przypadku metalicznym (silna degeneracja)  $\tilde{\tau} = \tau_F = \tau(\xi) = \tau$

$$\varepsilon'(\omega) = n^2 - \kappa^2 = \varepsilon_r - N_e \frac{e^2}{\varepsilon_0 m^*} \left( \frac{\tau_F^2}{1 - \omega^2 \tau_F^2} \right) = \varepsilon_r \left( 1 - \frac{\omega_p^2}{\gamma^2 + \omega^2} \right)$$

$$\varepsilon''(\omega) = 2n\kappa = N_e \frac{e^2}{\varepsilon_0 \omega m^*} \left( \frac{\tau_F}{1 - \omega^2 \tau_F^2} \right) = \varepsilon_r \frac{\omega_p^2}{\omega} \frac{\gamma}{\gamma^2 + \omega^2}$$

Dla metali  $\omega_p \approx 10^{16} \text{ s}^{-1}$ ,  $\lambda_p \approx 200 \text{ nm}$ , natomiast  $\gamma \approx 10^{12} - 10^{13} \text{ s}^{-1}$ ,  $\gamma \ll \omega < \omega_p$  dla IR-Vis

Relacja dyspersyjna:

$$k = \sqrt{\varepsilon(\omega)} \frac{\omega}{c} = \tilde{n}(\omega) \frac{\omega}{c}$$

2013-06-03 11

## Właściwości optyczne

### Hipotetyczny półprzewodnik...

n=1  
← brak oscylatorów o wyższych częstotliwościach

Co to za oscylatory?

α

ω

podczerwień      widzialne-ultrafiolet      pasmo X  
drgania sieci,      przejścia międzypasmowe  
płytkie domieszki      wzbudzenia domieszek,      defektów, ekscytonów...

Andrzej Wysmolek Własności optyczne półprzewodników  
<http://www.fuw.edu.pl/~wysmolek/optyczne/>

2013-06-03 12

## Właściwości optyczne

Zakładamy, że w ośrodku (również półprzewodniku) zachodzą różnego rodzaju wzbudzenia, które można opisać przy użyciu modelu oscylatora harmonicznego. Model ten zakłada istnienie momentów dipolowych, bez wchodzenia w ich naturę. Okazuje się, że taki opis dobrze działa zarówno dla atomów, domieszek, defektów, jak też drgań sieci krystalicznej oraz wzbudzeń swobodnych nośników. Rozsunięciu ładunku jądra i elektronu towarzyszy pojawienie się **momentu dipolowego**  $\vec{p} = q(\vec{r}_+ - \vec{r}_-)$ ,  $\vec{r}_+$  - położenie ładunku dodatniego,  $\vec{r}_-$  - ujemnego.

Wstawiamy do równania ruchu  $\Rightarrow$  model Lorentza z FMS IN (III rok) i dostajemy:

$$\begin{aligned} \epsilon_r(\omega) &= 1 + \chi + \frac{N_e e^2}{\epsilon_0 m^*} \frac{1}{\omega_0^2 - \omega^2 - i\gamma\omega} \\ \epsilon'(\omega) &= n^2 - \kappa^2 = 1 + \chi + \frac{N_e e^2}{\epsilon_0 m^*} \frac{\omega_0^2 - \omega^2}{(\omega_0^2 - \omega^2)^2 + (\gamma\omega)^2} \\ \epsilon''(\omega) &= 2n\kappa = \frac{N_e e^2}{\epsilon_0 m^*} \frac{\gamma\omega}{(\omega_0^2 - \omega^2)^2 + (\gamma\omega)^2} \end{aligned}$$

Siła oscylatora  
 $\sum_j f_j = 1$

Dla wielu oscylatorów  $\omega \rightarrow 0$  wkład do polaryzacji od różnych przejść

$$\epsilon_r(\omega) = 1 + \frac{N_e e^2}{\epsilon_0 m^*} \sum_j \frac{1}{\omega_{j0}^2 - \omega^2 - i\gamma_j \omega} = 1 + \frac{N_e e^2}{\epsilon_0 m^*} \sum_j \frac{f_j}{\omega_{j0}^2 - \omega^2 - i\gamma_j \omega}$$

W praktyce wkład poszczególnych oscylatorów różni się, wprowadzamy **siłę oscylatora**.

2013-06-03

13

## Właściwości optyczne

Zakładamy, że w ośrodku (również półprzewodniku) zachodzą różnego rodzaju wzbudzenia, które można opisać przy użyciu modelu oscylatora harmonicznego. Model ten zakłada istnienie momentów dipolowych, bez wchodzenia w ich naturę. Okazuje się, że taki opis dobrze działa zarówno dla atomów, domieszek, defektów, jak też drgań sieci krystalicznej oraz wzbudzeń swobodnych nośników. Rozsunięciu ładunku jądra i elektronu towarzyszy pojawienie się **momentu dipolowego**  $\vec{p} = q(\vec{r}_+ - \vec{r}_-)$ ,  $\vec{r}_+$  - położenie ładunku dodatniego,  $\vec{r}_-$  - ujemnego.

Wstawiamy do równania ruchu  $\Rightarrow$  model Lorentza z FMS IN (III rok) i dostajemy:

Co to za oscylatory?

$$\begin{aligned} \epsilon_r(\omega) &= 1 + \chi + \frac{N_e e^2}{\epsilon_0 m^*} \frac{1}{\omega_0^2 - \omega^2 - i\gamma\omega} \\ \epsilon'(\omega) &= n^2 - \kappa^2 = 1 + \chi + \frac{N_e e^2}{\epsilon_0 m^*} \frac{\omega_0^2 - \omega^2}{(\omega_0^2 - \omega^2)^2 + (\gamma\omega)^2} \\ \epsilon''(\omega) &= 2n\kappa = \frac{N_e e^2}{\epsilon_0 m^*} \frac{\gamma\omega}{(\omega_0^2 - \omega^2)^2 + (\gamma\omega)^2} \end{aligned}$$

W granicy  $\omega \rightarrow 0$

$$\epsilon_r(0) = 1 + \chi + \frac{N_e e^2}{\epsilon_0 m^* \omega_0^2}$$

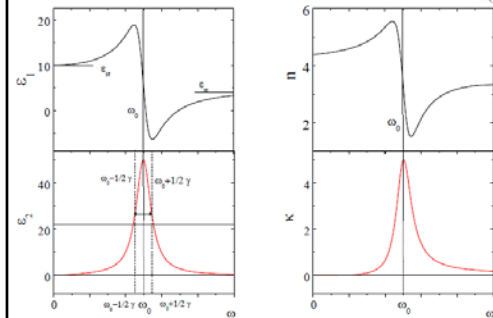
(definicja statycznej stałej dielektrycznej)

2013-06-03

14

## Właściwości optyczne

$$\begin{aligned} \epsilon_1(\omega) &= \epsilon_\infty + (\epsilon_\infty - \epsilon_\infty) \frac{\omega_0^2 (\omega_0^2 - \omega^2)}{(\omega_0^2 - \omega^2)^2 + (\gamma\omega)^2} & \omega_0^2 - \omega^2 &\approx 2\omega_0 \Delta\omega & \text{gdzie } \Delta\omega = \omega - \omega_0 \\ \epsilon_2(\omega) &= (\epsilon_\infty - \epsilon_\infty) \frac{\gamma\omega}{(\omega_0^2 - \omega^2)^2 + (\gamma\omega)^2} & \epsilon_1(\Delta\omega) &= \epsilon_\infty - (\epsilon_\infty - \epsilon_\infty) \frac{2\omega_0 \Delta\omega}{4(\Delta\omega)^2 + (\gamma)^2} & \text{Lorentzowski kształt linii} \\ \epsilon_2(\Delta\omega) &= (\epsilon_\infty - \epsilon_\infty) \frac{\gamma\omega_0}{4(\Delta\omega)^2 + (\gamma)^2} \end{aligned}$$



2013-06-03

15

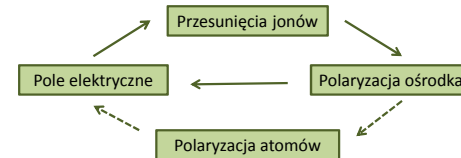
## Właściwości optyczne

Jakiego rodzaju „oscylatory”/przejścia optyczne są obecne w materii skondensowanej?

- Drgania sieci (fonony, drgania lokalne) – energie meV
- Wzbudzenia domieszek, defektów (meV-eV)
- Wzbudzenia w kryształach (ekscytyny, bieksytyny, triony) (eV)
- Przejścia między pasmami (eV, IR-VIS-UV), wewnątrz pasma (np. w studniach kwantowych – meV, IR)

**Fonony:**

Obok sił sprężystych (lokalnych), istnieją siły wynikające z polaryzacji ośrodka – dalekozasięgowe. Pojawia się oddziaływanie wymagające samouzgodnienia



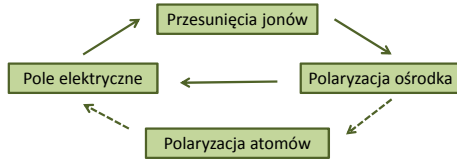
2013-06-03

16

## Właściwości optyczne

### Fonony:

Obok sił sprężystych (lokalnych), istnieją siły wynikające z polaryzacji ośrodka – dalekozasięgowe. Pojawia się oddziaływanie wymagające samouzgodnienia



Polaryzacja ośrodka:

**polaryzacja związana z przesunięciem jonów + wewnętrzna polaryzacja jonu**

$$\vec{p} = q(\vec{r}_+ - \vec{r}_-)$$

Wychylenia z położenia równowagi  $\xi_{\pm} = \vec{r}_{0\pm} - \vec{r}_{\pm}$

Znormalizowany wektor przesunięcie  $\eta = (\xi_+ + \xi_-)/\sqrt{\rho}$

Gęstość energii kinetycznej  $K = \frac{1}{2}\rho\eta^2$

Gęstość energii potencjalnej ośrodka sprężystego (energia elastyczna)  $U = \frac{1}{2}\omega^2\eta^2$

2013-06-03

17

## Właściwości optyczne

### Fonony:

Polaryzacja ośrodka: **polaryzacja związana z przesunięciem jonów + wewnętrzna polaryzacja jonu**

$$\vec{p} = q(\vec{r}_+ - \vec{r}_-)$$

Wychylenia z położenia równowagi  $\xi_{\pm} = \vec{r}_{0\pm} - \vec{r}_{\pm}$

Znormalizowany wektor przesunięcie  $\eta = (\xi_+ + \xi_-)/\sqrt{\rho}$

Gęstość energii kinetycznej  $K = \frac{1}{2}\rho\eta^2$

Gęstość energii potencjalnej ośrodka sprężystego (energia elastyczna)  $U_{elast} = \frac{1}{2}\omega^2\eta^2$

W przypadku fononów podłużnych  $\vec{\eta} \parallel \vec{k}$ , dla fononów poprzecznych  $\vec{\eta} \perp \vec{k}$

2013-06-03

18

## Właściwości optyczne

### Fonony:

Polaryzacja ośrodka: **polaryzacja związana z przesunięciem jonów + wewnętrzna polaryzacja jonu**

$$\vec{p} = q(\vec{r}_+ - \vec{r}_-)$$

Wychylenia z położenia równowagi  $\xi_{\pm} = \vec{r}_{0\pm} - \vec{r}_{\pm}$

Znormalizowany wektor przesunięcie  $\eta = (\xi_+ + \xi_-)/\sqrt{\rho}$

Gęstość energii kinetycznej  $K = \frac{1}{2}\rho\eta^2$

Gęstość energii potencjalnej ośrodka sprężystego (energia elastyczna)  $U_{elast} = \frac{1}{2}\omega^2\eta^2$

Fonony optyczne dają wkład do makroskopowej polaryzacji dielektrycznej ośrodka - **Dynamiczna**

**Funkcja Dielektryczna** – DFD (Dynamic Dielectric Function - DDF)



$$\vec{p} = \gamma_{12}\vec{\eta} + \gamma_{22}\vec{\mathcal{E}}$$

Będziemy szukali rozwiązania  $\varepsilon(\omega)$  z równań Maxwella, spełniającego równanie falowe

$$\vec{D} = \varepsilon_0\varepsilon(\omega)\vec{\mathcal{E}} = \varepsilon_0\vec{\mathcal{E}} + \vec{p}$$

$$\vec{p} = \varepsilon_0(\varepsilon(\omega) - 1)\vec{\mathcal{E}}$$

$$\vec{\mathcal{E}} = \vec{\mathcal{E}}_0 e^{i(\vec{k}\vec{r} - \omega t)}$$

2013-06-03

19

## Właściwości optyczne

### Fonony:

Polaryzacja ośrodka: **polaryzacja związana z przesunięciem jonów + wewnętrzna polaryzacja jonu**

$$\vec{p} = q(\vec{r}_+ - \vec{r}_-)$$

Wychylenia z położenia równowagi  $\xi_{\pm} = \vec{r}_{0\pm} - \vec{r}_{\pm}$

Znormalizowany wektor przesunięcie  $\eta = (\xi_+ + \xi_-)/\sqrt{\rho}$

Gęstość energii kinetycznej  $K = \frac{1}{2}\rho\eta^2$

Gęstość energii potencjalnej ośrodka sprężystego (energia elastyczna)  $U_{elast} = \frac{1}{2}\omega^2\eta^2$

Fonony optyczne dają wkład do makroskopowej polaryzacji dielektrycznej ośrodka - **Dynamiczna**

**Funkcja Dielektryczna** – DFD (Dynamic Dielectric Function - DDF)



$$\vec{p} = \gamma_{12}\vec{\eta} + \gamma_{22}\vec{\mathcal{E}}$$

Wewnętrzna polaryzacja jonów daje polaryzację dla dużych częstości (w porównaniu z częstością fononów)  $P_{\infty} = \gamma_{22}\vec{\mathcal{E}}$  - wprowadzamy  $\varepsilon_{\infty}$  - parametr charakteryzujący polaryzację ośrodka dla częstości dużo większych niż częstotliwość drgań sieci, a mniejszych niż polaryzacja wewnątrz jonów (poniżej przejść międzypasmowych).

$$\vec{D} = \varepsilon_0\varepsilon_{\infty}\vec{\mathcal{E}} = \varepsilon_0\vec{\mathcal{E}} + \vec{P}_{\infty} \Rightarrow \vec{P}_{\infty} = \varepsilon_0(\varepsilon_{\infty} - 1)\vec{\mathcal{E}} \Rightarrow \gamma_{22} = \varepsilon_0(\varepsilon_{\infty} - 1)$$

2013-06-03

20

## Właściwości optyczne

### Fonony:

Polaryzacja ośrodka: **polaryzacja związana z przesunięciem jonów + wewnętrzna polaryzacja jonu**

$$\vec{p} = q(\vec{r}_+ - \vec{r}_-)$$

Gęstość energii kinetycznej  $K = \frac{1}{2} \rho \dot{\eta}^2$

Gęstość energii potencjalnej ośrodka sprężystego (energia elastyczna)  $U_{elast} = \frac{1}{2} \omega^2 \eta^2$

$$\vec{P} = \gamma_{12} \dot{\eta} + \gamma_{22} \vec{\mathcal{E}} \\ \vec{D} = \epsilon_0 \epsilon_\infty \vec{\mathcal{E}} = \epsilon_0 \vec{\mathcal{E}} + \vec{P}_\infty \Rightarrow \vec{P}_\infty = \epsilon_0 (\epsilon_\infty - 1) \vec{\mathcal{E}} \Rightarrow \gamma_{22} = \epsilon_0 (\epsilon_\infty - 1)$$

Gęstość energii potencjalnej (elektrostatycznej)

$$U_p = - \int_0^{\mathcal{E}} \vec{P} d\vec{\mathcal{E}} = \gamma_{12} \dot{\eta} \mathcal{E} + \frac{1}{2} \gamma_{22} \mathcal{E}^2$$

Całkowita gęstość energii potencjalnej

$$U = U_{elast} + U_p = \frac{1}{2} (\omega^2 \eta^2 + 2\gamma_{12} \dot{\eta} \mathcal{E} + \gamma_{22} \mathcal{E}^2)$$

Z  $U$  możemy wyprowadzić równanie ruchu w polu elektrycznym

$$F = - \frac{dU}{d\eta}$$

2013-06-03

21

## Właściwości optyczne

### Fonony:

Polaryzacja ośrodka: **polaryzacja związana z przesunięciem jonów + wewnętrzna polaryzacja jonu**

$$U = U_{elast} + U_p = \frac{1}{2} (\omega^2 \eta^2 + 2\gamma_{12} \dot{\eta} \mathcal{E} + \gamma_{22} \mathcal{E}^2)$$

Z  $U$  możemy wyprowadzić równanie ruchu w polu elektrycznym

$$F = - \frac{dU}{d\eta} \\ \ddot{\eta} = -\omega_0^2 \eta + \gamma_{12} \dot{\mathcal{E}}$$

Stąd dla stałego pola w czasie

$$\ddot{\eta}_0 = \frac{\gamma_{12}}{\omega_0^2} \dot{\mathcal{E}}_0 \Rightarrow \vec{P}_0 = \gamma_{12} \dot{\eta}_0 + \gamma_{22} \vec{\mathcal{E}}_0 = \left( \frac{\gamma_{12}^2}{\omega_0^2} + \epsilon_0 (\epsilon_\infty - 1) \right) \vec{\mathcal{E}}_0$$

Wprowadzamy **statyczną stałą dielektryczną**  $\epsilon_s$ :

$$\vec{D} = \epsilon_0 \epsilon_s \vec{\mathcal{E}}_0 = \epsilon_0 \vec{\mathcal{E}}_0 + \vec{P}_0 \Rightarrow \vec{P}_0 = \epsilon_0 (\epsilon_s - 1) \vec{\mathcal{E}}_0 \\ \Rightarrow \epsilon_0 (\epsilon_s - 1) = \left( \frac{\gamma_{12}^2}{\omega_0^2} + \epsilon_0 (\epsilon_\infty - 1) \right)$$

Czyli

$$\gamma_{12} = \omega_0 \sqrt{\epsilon_0 (\epsilon_s - \epsilon_\infty)}$$

2013-06-03

22

## Właściwości optyczne

### Fonony:

$$\vec{D} = \epsilon_0 \epsilon(\omega) \vec{\mathcal{E}} = \epsilon_0 \vec{\mathcal{E}} + \vec{P} \\ \vec{P} = \epsilon_0 (\epsilon(\omega) - 1) \vec{\mathcal{E}}$$

Ogólny problem:  $\vec{P} = \gamma_{12} \dot{\eta} + \gamma_{22} \vec{\mathcal{E}}$

Równanie ruchu:  $\ddot{\eta} = -\omega_0^2 \eta + \gamma_{12} \dot{\mathcal{E}}$  -  $\omega_0$  odpowiada częstotliwości drgań fononów optycznych  $TO$  w pobliżu  $\vec{k} = 0$ .

Otrzymaliśmy  $\gamma_{12} = \omega_0 \sqrt{\epsilon_0 (\epsilon_s - \epsilon_\infty)}$ ,  $\gamma_{22} = \epsilon_0 (\epsilon_\infty - 1)$

Szukamy rozwiązania w postaci fali płaskiej

$$\vec{\mathcal{E}} = \vec{\mathcal{E}}_0 e^{i(\vec{k}\vec{r} - \omega t)}, \quad \dot{\eta} = \dot{\eta}_0 e^{i(\vec{k}\vec{r} - \omega t)}, \quad \vec{P} = \vec{P}_0 e^{i(\vec{k}\vec{r} - \omega t)}$$

Wstawiamy fale płaskie do układu równań [...]

$$\dot{\eta}_0 = \left[ \frac{\gamma_{12}}{\omega_0^2 - \omega^2} \right] \vec{\mathcal{E}}_0 \Rightarrow \vec{P}_0 = \left[ \frac{\gamma_{12}^2}{\omega_0^2 - \omega^2} + \gamma_{22} \right] \vec{\mathcal{E}}_0 \\ \vec{P}_0 = \epsilon_0 (\epsilon(\omega) - 1) \vec{\mathcal{E}}_0 = \dots = \left[ \frac{\omega_0^2 \epsilon_0 (\epsilon_s - \epsilon_\infty)}{\omega_0^2 - \omega^2} + \epsilon_0 (\epsilon_\infty - 1) \right] \vec{\mathcal{E}}_0$$

2013-06-03

23

## Właściwości optyczne

### Fonony:

$$\vec{P}_0 = \epsilon_0 (\epsilon(\omega) - 1) \vec{\mathcal{E}}_0 = \dots = \left[ \frac{\omega_0^2 \epsilon_0 (\epsilon_s - \epsilon_\infty)}{\omega_0^2 - \omega^2} + \epsilon_0 (\epsilon_\infty - 1) \right] \vec{\mathcal{E}}_0$$

**Dynamiczna funkcja dielektryczna:**

$$\epsilon(\omega) \equiv \epsilon_r(\omega) = \epsilon_\infty + \frac{\omega_0^2}{\omega_0^2 - \omega^2} (\epsilon_s - \epsilon_\infty)$$

Z równań Maxwella możemy znaleźć warunki rozchodzenia się fal poprzecznych i podłużnych w ośrodku  $\vec{j} = \sigma(\omega) \vec{\mathcal{E}}$ , o przenikalności  $\mu = \mu_0$  oraz  $\epsilon = \epsilon_0 \epsilon_L(\omega)$  - w ten sposób zapisano wkład do funkcji dielektrycznej pochodzący od swobodnych nośników (zależny od  $\sigma(\omega)$ ) oraz polaryzacji sieci  $\epsilon_L(\omega)$  (bez nośników):

$$\nabla \times (\nabla \times \vec{\mathcal{E}}) = \mu_0 \epsilon_L \frac{\partial^2 \vec{\mathcal{E}}}{\partial t^2} + \mu_0 \sigma \frac{\partial \vec{\mathcal{E}}}{\partial t} \Rightarrow \\ -\nabla \cdot (\nabla \cdot \vec{\mathcal{E}}) + \Delta \vec{\mathcal{E}} = \epsilon_L \frac{1}{c^2} \frac{\partial^2 \vec{\mathcal{E}}}{\partial t^2} + \frac{1}{c^2} \frac{\sigma}{\epsilon_0} \frac{\partial \vec{\mathcal{E}}}{\partial t}$$

$$\vec{k} \cdot (\vec{k} \cdot \vec{\mathcal{E}}_0) - k^2 \vec{\mathcal{E}}_0 = -\epsilon_L \frac{\omega^2}{c^2} \vec{\mathcal{E}}_0 - \frac{i\omega\sigma}{c^2 \epsilon_0} \vec{\mathcal{E}}_0 \equiv \epsilon(\omega) \frac{\omega^2}{c^2} \vec{\mathcal{E}}_0$$

2013-06-03

24

## Właściwości optyczne

### Fonony:

$$\vec{k} \cdot (\vec{k} \cdot \vec{\epsilon}_0) - k^2 \vec{\epsilon}_0 = -\epsilon_L \frac{\omega^2}{c^2} \vec{\epsilon}_0 - \frac{i\omega\sigma}{c^2 \epsilon_0} \vec{\epsilon}_0 \equiv \epsilon(\omega) \frac{\omega^2}{c^2} \vec{\epsilon}_0$$

Gdzie szukana zależność  $\epsilon(\omega)$

$$\epsilon(\omega) = \epsilon_L + \frac{i\sigma}{\omega \epsilon_0}$$

Fale poprzeczne  $\vec{k} \perp \vec{\epsilon}_0$ :

$$k^2 \vec{\epsilon}_0 = \epsilon(\omega) \frac{\omega^2}{c^2} \vec{\epsilon}_0$$

Zatem dostajemy propagację fal elektromagnetycznych w ośrodku

$$k = \sqrt{\epsilon(\omega)} \frac{\omega}{c} \equiv \tilde{n} \frac{\omega}{c}$$

$$\tilde{n} = n + ik$$

Fale podłużne  $\vec{k} \parallel \vec{\epsilon}_0$  - istnieje rozwiązanie dla:

$$0 = \epsilon(\omega) \frac{\omega^2}{c^2} \vec{\epsilon}_0$$

Wzbudzenia podłużne pojawiają się dla częstotliwości  $\omega_L$ , w której  $\epsilon(\omega_L) = 0$

$$\epsilon_r(\omega_L) = \epsilon_\infty + \frac{\omega_0^2}{\omega_0^2 - \omega^2} (\epsilon_s - \epsilon_\infty) = 0 \Rightarrow \omega_L = \omega_0 \sqrt{\frac{\epsilon_s}{\epsilon_\infty}} = \omega_{TO} \sqrt{\frac{\epsilon_s}{\epsilon_\infty}}$$

2013-06-03

25

## Właściwości optyczne

### Fonony:

$$\vec{k} \cdot (\vec{k} \cdot \vec{\epsilon}_0) - k^2 \vec{\epsilon}_0 = -\epsilon_L \frac{\omega^2}{c^2} \vec{\epsilon}_0 - \frac{i\omega\sigma}{c^2 \epsilon_0} \vec{\epsilon}_0 \equiv \epsilon(\omega) \frac{\omega^2}{c^2} \vec{\epsilon}_0$$

Fale poprzeczne  $\vec{k} \perp \vec{\epsilon}_0$ :

$$k^2 \vec{\epsilon}_0 = \epsilon(\omega) \frac{\omega^2}{c^2} \vec{\epsilon}_0, \quad k = \sqrt{\epsilon(\omega)} \frac{\omega}{c} \equiv \tilde{n} \frac{\omega}{c}$$

$$\tilde{n} = n + ik$$

Fale podłużne  $\vec{k} \parallel \vec{\epsilon}_0$  - istnieje rozwiązanie dla:

$$0 = \epsilon(\omega) \frac{\omega^2}{c^2} \vec{\epsilon}_0$$

$$\epsilon_r(\omega_L) = \epsilon_\infty + \frac{\omega_0^2}{\omega_0^2 - \omega^2} (\epsilon_s - \epsilon_\infty) = 0 \Rightarrow \omega_L = \omega_{TO} \sqrt{\frac{\epsilon_s}{\epsilon_\infty}}$$

Jest to **relacja Lyddena, Sachsa, Tellera (LST)**.  $\epsilon(\omega) = 0$  nie oznacza, że pole elektryczne wewnątrz ośrodka wynosi zero.  $\vec{P}_L = \epsilon_0 (\epsilon(\omega_L) - 1) \vec{\epsilon}_L = -\epsilon_0 \vec{\epsilon}_L$  zatem  $\vec{\epsilon}_L = -\vec{P}_L / \epsilon_0$ , czyli  $\vec{D} = 0$ . Pojawia się makroskopowe pole elektryczne, wynikające z makroskopowej polaryzacji środka. To pole ma przeciwny kierunek niż polaryzacja, dlatego daje dodatkową siłę zwrotną dla oscylacji podłużnych (w porównaniu z poprzecznymi). Dlatego energia fononu LO jest zawsze większa od energii fononu TO.

2013-06-03

26

## Właściwości optyczne

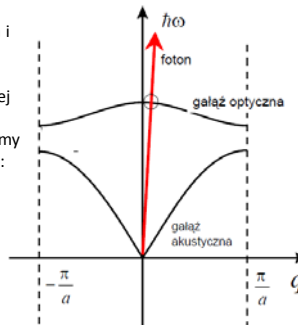
### Fonony:

Przejścia optyczne w podczerwieni, wzbudzające fonony optyczne, możliwe są tylko gdy dopasowana jest energia i pęd.

Absorpcja światła pojawia się w kryształach (przynajmniej częściowo) jonowych!

Korzystając z relacji **LST (Lyddena, Sachsa, Tellera)** możemy dynamiczną funkcję dielektryczną przedstawić w postaci:

$$\epsilon(\omega) = \epsilon_\infty \frac{\omega_L^2 - \omega^2}{\omega_{TO}^2 - \omega^2} = \frac{\epsilon_s - \epsilon_\infty \left(\frac{\omega}{\omega_{TO}}\right)^2}{1 - \left(\frac{\omega}{\omega_{TO}}\right)^2}$$



2013-06-03

27

## Właściwości optyczne

### Fonony:

Absorpcja światła pojawia się w kryształach (przynajmniej częściowo) jonowych!

Korzystając z relacji **LST (Lyddena, Sachsa, Tellera)** możemy dynamiczną funkcję dielektryczną przedstawić w postaci:

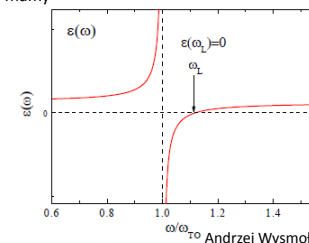
$$\epsilon(\omega) = \epsilon_\infty \frac{\omega_L^2 - \omega^2}{\omega_{TO}^2 - \omega^2} = \frac{\epsilon_s - \epsilon_\infty \left(\frac{\omega}{\omega_{TO}}\right)^2}{1 - \left(\frac{\omega}{\omega_{TO}}\right)^2}$$

Dla częstotliwości spełniających warunek  $\omega_{TO} < \omega < \omega_L$  mamy

$\epsilon(\omega) < 0$  czyli całkowite odbicie  $R(\omega) = 1$ .

Wzbudzenia poprzeczne  $\epsilon(\omega) \rightarrow \infty$

Wzbudzenia podłużne  $\epsilon(\omega) = 0$



2013-06-03

28

## Właściwości optyczne

Fonony:

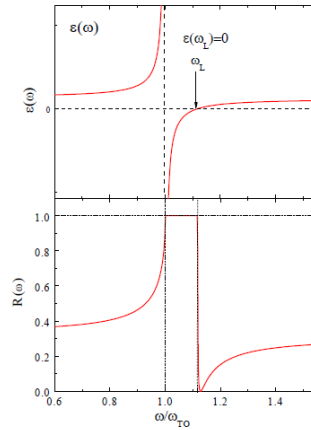
$$\varepsilon(\omega) = \varepsilon_\infty \frac{\omega_L^2 - \omega^2}{\omega_{TO}^2 - \omega^2} = \frac{\varepsilon_s - \varepsilon_\infty \left(\frac{\omega}{\omega_{TO}}\right)^2}{1 - \left(\frac{\omega}{\omega_{TO}}\right)^2}$$

Dla częstości spełniających warunek  $\omega_{TO} < \omega < \omega_L$  mamy  $\varepsilon(\omega) < 0$  czyli całkowite odbicie  $R(\omega) = 1$ .

Wzbudzenia poprzeczne  $\varepsilon(\omega) \rightarrow \infty$

Wzbudzenia podłużne  $\varepsilon(\omega) = 0$

**Reststrahlen** (promieniowanie resztkowe)  
 - brak penetracji próbki w obszarze częstości pomiędzy  $\omega_{TO}$  i  $\omega_L$   
 - współczynnik odbicia bliski 1



2013-06-03

29

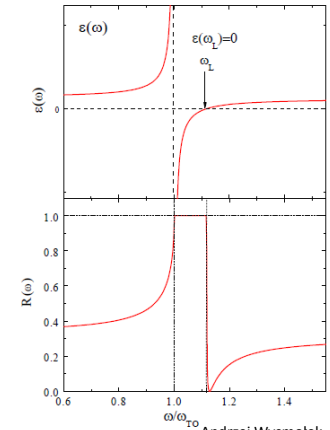
## Właściwości optyczne

Fonony:

$$\varepsilon(\omega) = \varepsilon_\infty \frac{\omega_L^2 - \omega^2}{\omega_{TO}^2 - \omega^2} = \frac{\varepsilon_s - \varepsilon_\infty \left(\frac{\omega}{\omega_{TO}}\right)^2}{1 - \left(\frac{\omega}{\omega_{TO}}\right)^2}$$

Gdy w układzie mamy tłumienie

$$\varepsilon(\omega) = \varepsilon_\infty + \frac{(\varepsilon_s - \varepsilon_\infty)\omega^2}{\omega_{TO}^2 - \omega^2 - i\gamma\omega}$$



2013-06-03

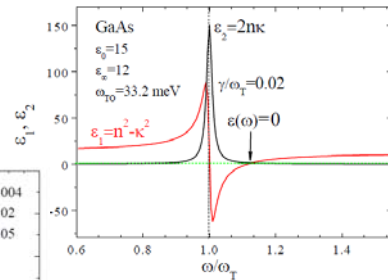
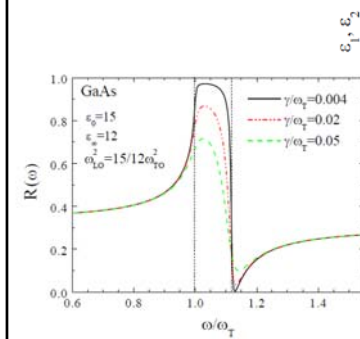
30

## Właściwości optyczne

Fonony:

Gdy w układzie mamy tłumienie

$$\varepsilon(\omega) = \varepsilon_\infty + \frac{(\varepsilon_s - \varepsilon_\infty)\omega^2}{\omega_{TO}^2 - \omega^2 - i\gamma\omega}$$



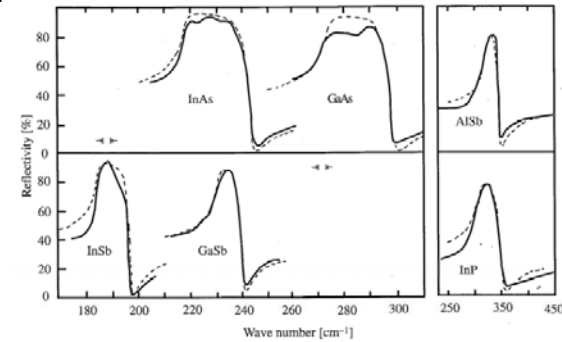
Andrzej Wyszomlek

2013-06-03

31

## Właściwości optyczne

Fonony:



M. Hoss: Lattice reflections, *Optical properties of III-V Compounds, Semiconductors and Semimetals, Vol. 3 (Academic, New York 1967)*, pp.3-16

Andrzej Wyszomlek

2013-06-03

32



## Właściwości optyczne

Fonony:

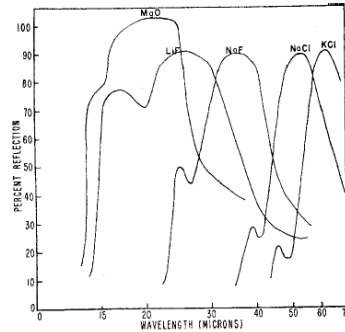


FIG. 1. Infrared reflection spectra of alkali halides and magnesium oxide.

M. Lax and E. Burstein Phys. Rev. B 97, 39 (1995)

Andrzej Wysmołek

2013-06-03

33

## Właściwości optyczne

Polariton fononowy:

Dotychczas rozpatrując oddziaływanie pomiędzy falami elektromagnetycznymi a oscylatorami zaniedbywaliśmy promieniowanie wywołane oscylacjami makroskopowej polaryzacji.

$$\varepsilon(\omega) = \varepsilon_\infty \frac{\omega_{LO}^2 - \omega^2}{\omega_{TO}^2 - \omega^2} = \frac{\varepsilon_s - \varepsilon_\infty \left(\frac{\omega}{\omega_{TO}}\right)^2}{1 - \left(\frac{\omega}{\omega_{TO}}\right)^2}$$

$$k^2 = \varepsilon(\omega) \frac{\omega^2}{c^2} = \frac{\omega^2}{c^2} \left( \varepsilon_\infty + \frac{\varepsilon_s - \varepsilon_\infty}{1 - \left(\frac{\omega}{\omega_{TO}}\right)^2} \right)$$

dla  $k \rightarrow 0$  częstość drgań poprzecznych staje się zdegenerowana z częstością drgań podłużnych. Efekt symetrii (kubicznej).

$$k \rightarrow 0 \Rightarrow \omega \rightarrow 0 \text{ (dolna gałąź polaritonowa), } \omega \approx ck/\sqrt{\varepsilon_s}$$

lub

$$k \rightarrow 0 \Rightarrow \omega \rightarrow \omega_L \text{ (górną gałąź polaritonowa), } \omega \approx ck/\sqrt{\varepsilon_\infty}$$

2013-06-03

34

## Właściwości optyczne

Polariton fononowy:

dla  $k \rightarrow 0$  częstość drgań poprzecznych staje się zdegenerowana z częstością drgań podłużnych.

Efekt symetrii (kubicznej).

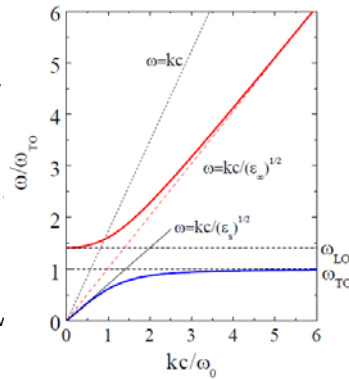
$$k \rightarrow 0 \Rightarrow \omega \rightarrow 0 \text{ (dolna gałąź polaritonowa), } \omega \approx ck/\sqrt{\varepsilon_s}$$

lub

$$k \rightarrow 0 \Rightarrow \omega \rightarrow \omega_L \text{ (górną gałąź polaritonowa), } \omega \approx ck/\sqrt{\varepsilon_\infty}$$

Występowanie efektu polaritonowego wynika z silnego sprzężenia dwóch wzbudzeń: fononu TO oraz fotonu.

W wyniku oddziaływania pojawiają się nowe mody własne systemu: ośrodkiem propagującym się więc polaritony (ani fonon TO, ani foton!)



2013-06-03

35

## Właściwości optyczne

Mody sprzężone plazmon-fonon:

$$\varepsilon(\omega) = \varepsilon_\infty \frac{\omega_{LO}^2 - \omega^2}{\omega_{TO}^2 - \omega^2} - \varepsilon_\infty \frac{\omega_p^2}{\omega^2}$$

Wzbudzenia podłużne

$$\omega_{\pm} = \frac{1}{2} \sqrt{\omega_p^2 + \omega_{LO}^2 \pm \sqrt{(\omega_p^2 + \omega_{LO}^2)^2 - 4\omega_p^2\omega_{TO}^2}}$$

Dwa rozwiązania:

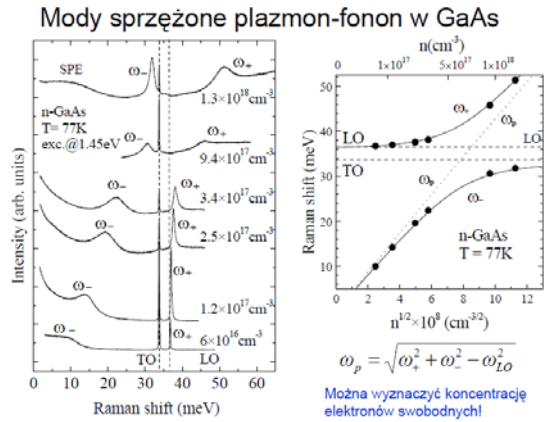
dla  $\omega_p \ll \omega_{LO}$  mamy  $\omega_- \rightarrow \omega_p$  (plazmono-podobny) i  $\omega_+ \rightarrow \omega_{LO}$  (fonono-podobny)

dla  $\omega_p \gg \omega_{LO}$  mamy  $\omega_- \rightarrow \omega_{TO}$  (fonono-podobny) i  $\omega_+ \rightarrow \omega_p$  (plazmono-podobny)

2013-06-03

36

## Właściwości optyczne



2013-06-03

37

Andrzej Wyszomolek

## Właściwości optyczne

Opis właściwości optycznych to opis propagacji fali elektromagnetycznej w kryształach z uwzględnieniem różnych oddziaływań. Należy uwzględnić:

- Swobodne nośniki
- Fonony
- Przejścia międzypasmowe
- Wpływ domieszek na właściwości optyczne

Na tym wykładzie zatrzymaliśmy się na modelu kwaziklasycznym oddziaływania fali elektromagnetycznej z kryształem. Dalej należałoby rozważyć kwantowo:

- przejścia na pasmo-donor, pasmo-akceptor, donor-akceptor
- przejścia pasmo-pasmo
- ekscytony, tryony, bieksytony, polaritony

Więcej na temat przejść optycznych w półprzewodnikach:

Andrzej Wyszomolek Właściwości optyczne półprzewodników

<http://www.fuw.edu.pl/~wyszomolek/optyczne/>

2013-06-03

38